





2020-1-LT01-KA229-077897_4



2020-1-LT01-KA229-077897_4





2020-1-LT01-KA229-077897_4



2020-1-LT01-KA229-077897_4





2020-1-LT01-KA229-077897_4



2020-1-LT01-KA229-077897_4





2020-1-LT01-KA229-077897_4



2020-1-LT01-KA229-077897_4





2020-1-LT01-KA229-077897_4



2020-1-LT01-KA229-077897_4



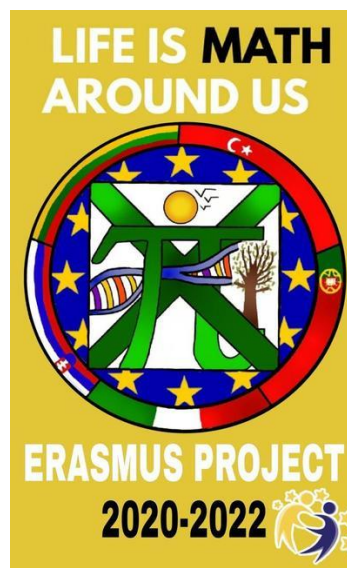


2020-1-LT01-KA229-077897_4



2020-1-LT01-KA229-077897_4





2020-1-LT01-KA229-077897_4



2020-1-LT01-KA229-077897_4





2020-1-LT01-KA229-077897_4



2020-1-LT01-KA229-077897_4





2020-1-LT01-KA229-077897_4



2020-1-LT01-KA229-077897_4



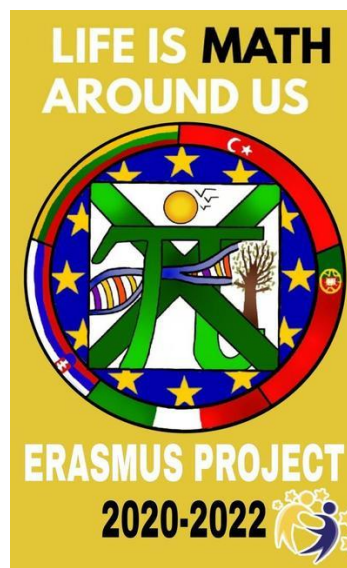


2020-1-LT01-KA229-077897_4



2020-1-LT01-KA229-077897_4





2020-1-LT01-KA229-077897_4



2020-1-LT01-KA229-077897_4





2020-1-LT01-KA229-077897_4



2020-1-LT01-KA229-077897_4





2020-1-LT01-KA229-077897_4



2020-1-LT01-KA229-077897_4





2020-1-LT01-KA229-077897_4



2020-1-LT01-KA229-077897_4